

УДК 550.34.042+551.243

ЭНЕРГИЯ СЕЙСМОТЕКТОНИЧЕСКИХ ДЕФОРМАЦИЙ ЛИТОСФЕРЫ МОНГОЛИИ

© 2012 г. А. В. Ключевский, В. М. Демьянович, С. Дэмбэрэл, Б. Лхагвадорж

Представлено академиком Г.С. Голицыным 10.11.2011 г.

Поступило 07.11.2011 г.

Информация о сильных землетрясениях Монголии за инструментально-исторический период обобщена в карте-схеме энергии сейсмотектонических деформаций литосферы, которая поставлена в соответствие карте общего сейсмического районирования территории Монголии. Полученные результаты характеризуют энергию сейсмотектонических деформаций литосферы в абсолютных единицах, что удобно для проектирования и строительства. Разрабатываемый подход к оценке энергии сейсмотектонических деформаций рекомендуется к использованию с целью развития современных проектно-изыскательских, конструкторских и строительных технологий в рамках проблем обеспечения сейсмической безопасности в регионах.

Значительная часть территории Монголии расположена в высокосейсмичных областях Центрально-Азиатского складчатого пояса и подвержена частым и сильным землетрясениям [1]. Особенno опасны в сейсмическом отношении Монгольский и Гобийский Алтай: только в XX в. здесь произошли несколько десятков землетрясений с магнитудой $M \geq 6$ (интенсивностью I_0 от 8 до 11–12 баллов) (рис. 1). Некоторые землетрясения вызвали нарушения земной поверхности в десятки километров, а сейсмические катастрофы (Болнайское 1905 г., Монголо-Алтайское 1931 г. и Гоби-Алтайское 1957 г.) сопровождались сейсмотектоническими деформациями протяженностью до нескольких сотен километров. Судя по сохранившимся следам древних землетрясений и летописным сведениям подобные и, возможно, более грандиозные сейсмические события происходили здесь в недавнем прошлом. Поскольку решение проблем сейсмической безопасности является составной задачей социально-экономического развития сейсмоактивных регионов, то

понимание важности создания и безопасной эксплуатации территориально-промышленных комплексов и стратегических транспортных коридоров в Монголо-Байкальском регионе предопределяет актуальность детального изучения геодинамических и сейсмических процессов в зонах активных разломов при сейсмическом районировании территории [2, 3].

В настоящее время в очаговой сейсмологии широкое применение получил сейсмический момент – параметр, характеризующий работу по перемещению “очагового” блока в стесненных условиях литосферы [4, 5]. Этот параметр определяется как

$$M_o = \mu S D, \quad (1)$$

где μ – модуль сдвига, S и D – площадь дислокации и смещение по разлому, и через S и D связан с сейсмотектоническим деформированием горных пород. Он использовался нами при оценке энергии сейсмотектонических деформаций литосферы Байкальской рифтовой зоны (БРЗ) для более надежного и обоснованного подхода к решению проблем обеспечения сейсмической безопасности в Байкальском регионе [2]. В настоящей работе рассматривается сейсмичность Монголии ($\phi = 42^\circ - 54^\circ$ с.ш., $\lambda = 87^\circ - 120^\circ$ в.д.), представленная землетрясениями с магнитудой $M \geq 3$, произошедшими за период инструментальных наблюдений (1964–2008 гг.), и сейсмичность исторического периода, представленная землетрясениями с магнитудой $M \geq 6$ в электронном “Каталоге землетрясений Монголии” (1740–1963 гг.). Как видно из каталога, в период инструментальных наблюдений такие землетрясения регистрировались без пропусков, а ошибки в определении координат эпицентров толчков не превышают 20 км. Можно полагать, что в исторический период часть землетрясений с $M \geq 6$ была пропущена и не внесена в “Каталог землетрясений Монголии”, а погрешность в определении координат эпицентров некоторых событий может достигать единиц градуса. Такие неопределенности послужили причиной разделения исследуемой сейсмичности на два периода (инструментальный и исторический) и использования осреднения дан-

Институт земной коры
Сибирского отделения Российской Академии наук,
Иркутск
Исследовательский центр по астрономии и геофизике
Монгольской академии наук, Улан-Батор

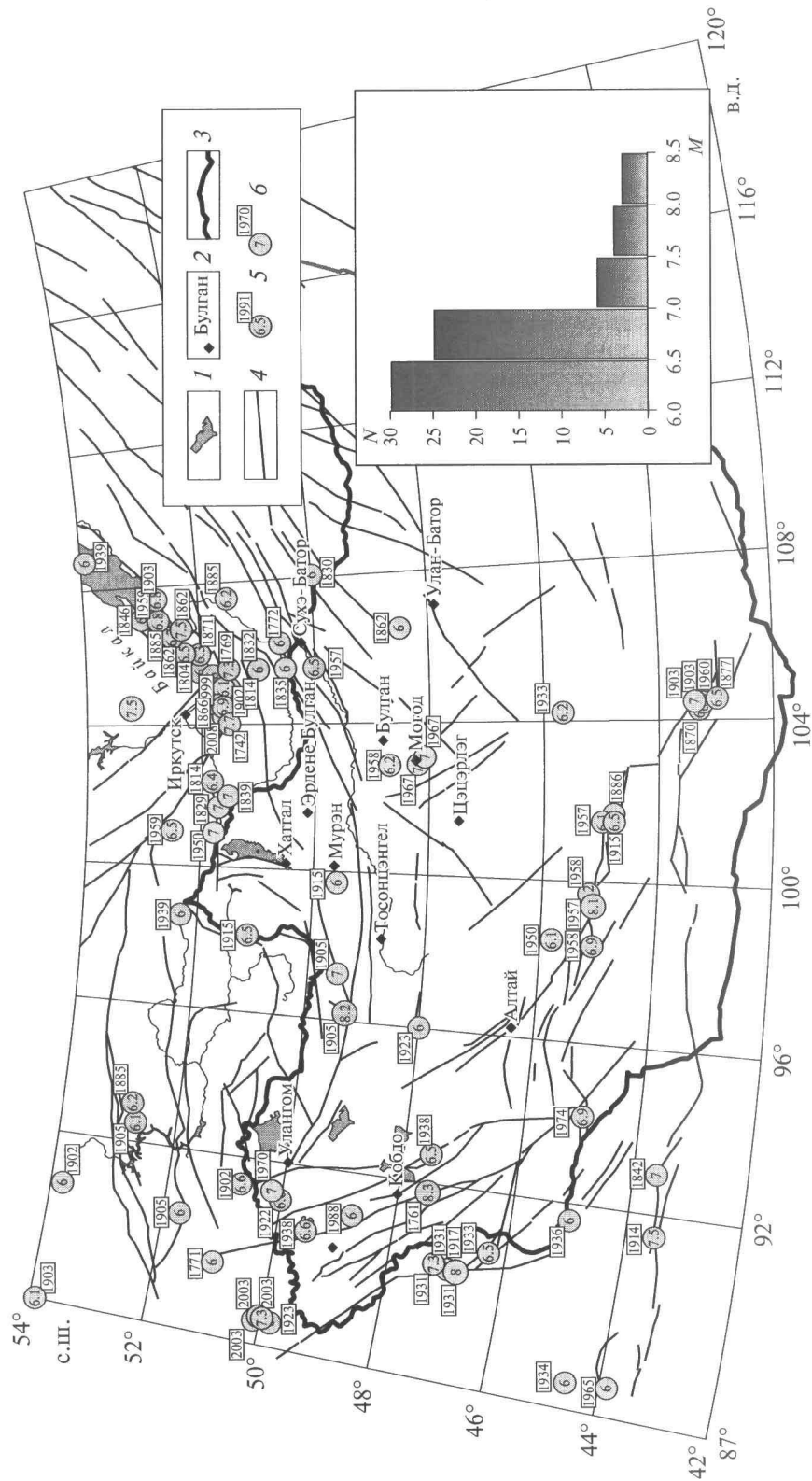


Рис. 1. Карта эпицентров и гистограмма распределения (врезка) по магнитуде сильных землетрясений Монголии за инструментально-исторический период (1740–2008 гг.). 1 – озера, 2 – аймаки, 3 – границы России и Монголии, 4 – основные разломы, 5 и 6 – эпицентры (год и магнитуда) землетрясений с $6.0 \leq M \leq 6.9$ и $M \geq 7.0$ соответственно.

ных при построении карт по крупным площадкам размером $200 \times 200 \text{ км}^2$ с перекрытием в половину площадки. В целом анализируется интервал времени более 260 лет, а рекуррентные интервалы сильнейших землетрясений в Монголии составляют около 200 лет [6].

Для перехода от магнитуд к сейсмическому моменту, характеризующему работу и энергию сейсмотектонических деформаций, используется корреляционное уравнение, установленное по данным о сильных землетрясениях мира [4]:

$$\lg M_0 \pm 0.6 = 8.4 + 1.6M. \quad (2)$$

В площадках размером $200 \times 200 \text{ км}^2$ определены максимальные значения магнитуд землетрясений, которые по формуле (2) пересчитаны в величины сейсмического момента в единицах ньютон на метр ($\text{Н} \cdot \text{м}$, работа), эквивалентных джоулю (Дж , энергия).

На карте (рис. 1) наблюдается довольно равномерное распределение эпицентров сильных сейсмических событий Монголии вдоль системы разломов Гобийского и Монгольского Алтая, а также концентрация эпицентров сильных исторических толчков в юго-западной части БРЗ. Вдоль Болтайской системы разломов и в центральной части Монголии в XX в. произошли сильнейшие континентальные землетрясения – Болтайское (23.07.1905, $M = 8.2$, $I_0 = 11-12$), Цээрэлэгское (09.07.1905, $M = 7.6$, $I_0 = 10$) и Могодское (05.01.1967, $M = 7.8$, $I_0 = 10-11$). На врезке к рис. 1 приведена гистограмма распределения чисел сильных землетрясений по магнитуде, указывающая на неполную представительность исторических толчков с магнитудами от 6 до 6.5. В целом наблюдаемое на рис. 1 распределение толчков свидетельствует о высочайшем сейсмическом потенциале литосферах региона.

На рис. 2 представлена карта-схема изолиний логарифма суммарного сейсмического момента землетрясений, построенная по материалам о сейсмических событиях инструментально-исторического периода. Она характеризует работу, выполненную в результате землетрясений, и в рамках теории последействия интерпретируется нами как карта-схема энергии сейсмотектонических деформаций литосферы Монголии. Анализ карты указывает на неоднородность распределения сейсмотектонических деформаций литосферы – области максимальной энергии приурочены к крупным разломным зонам и узлам, генерирующими землетрясения максимальной магнитуды. На рис. 2 повышенным уровнем энергии сейсмотектонических деформаций выделяется система разломных структур, окружающих Долину Озер. Максимальный уровень $\lg M_0 \approx 22$ соответствует очагу катастрофического Монгольского землетрясения ($M = 8.3$, 1761 г.) на западе Монголии.

Несколько меньше уровень энергии сейсмотектонических деформаций при катастрофическом Болтайском ($M = 8.2$, 1905 г., $\lg M_0 \approx 21.9$), Монголо-Алтайском ($M = 8.0$, 1931 г., $\lg M_0 \approx 21.2$) и Гоби-Алтайском ($M = 8.1$, 1957 г., $\lg M_0 \approx 21.4$) землетрясениях. В очаге Могодского землетрясения ($M = 7.8$, 1967) $\lg M_0 \approx 20.8$. В менее значительных максимумах $\lg M_0 \approx 18-19$, а территория повышенного уровня энергии сейсмотектонических деформаций выделяется изолинией $\lg M_0 \approx 16$. Распределение сейсмотектонической энергии во времени характеризуется гистограммой логарифма суммарного значения сейсмических моментов землетрясений, прошедших в регионе с 1740 г. за интервалы времени в 10 лет (рис. 2, врезка). Наблюдаемый на гистограмме высокий уровень логарифма суммарного сейсмического момента совпадает во времени с наиболее сильными землетрясениями, указывая на то, что сбросы сейсмотектонической энергии выше 10^{20} Дж происходили в результате сильнейших землетрясений с $M \geq 7.5$, и относительно этих величин доля выделенной энергии менее значительными толчками невелика.

В современном представлении разломообразование и землетрясения являются разномасштабными свойствами одной динамической системы – разломной зоны [7]. Между разломной структурой и эпицентральным полем землетрясений установлена связь, используемая в линеаментно-доменно-фокальной модели общего сейсмического районирования территории [8, 9]. Так как наиболее сильные землетрясения генерируются литосферными блоками высшего иерархического уровня, то обусловленность их наиболее крупными разломами постулируется. В таком случае главные сейсмически активные разломы территории Монголии формируют доминантный образ и задают основные параметры карты общего сейсмического районирования [10]. Если соопоставить карту энергии сейсмотектонических деформаций (рис. 2) и карту общего сейсмического районирования Монголии [10], то видно, что в конфигурации изолиний на этих картах прослеживается определенное сходство. Следует учесть, что карта общего сейсмического районирования получена для системы однородных разломов, а на карте энергии сейсмотектонических деформаций отражена реальная картина фрактального неоднородного разломообразования. Так и должно быть, если рассматривать разломы как источники землетрясений и учитывать масштабную связь размеров разломов и магнитуды землетрясений. Мы попытались установить эту связь путем корреляции интенсивности сейсмических сотрясений (I_0 , балл) с энергией сейсмо-

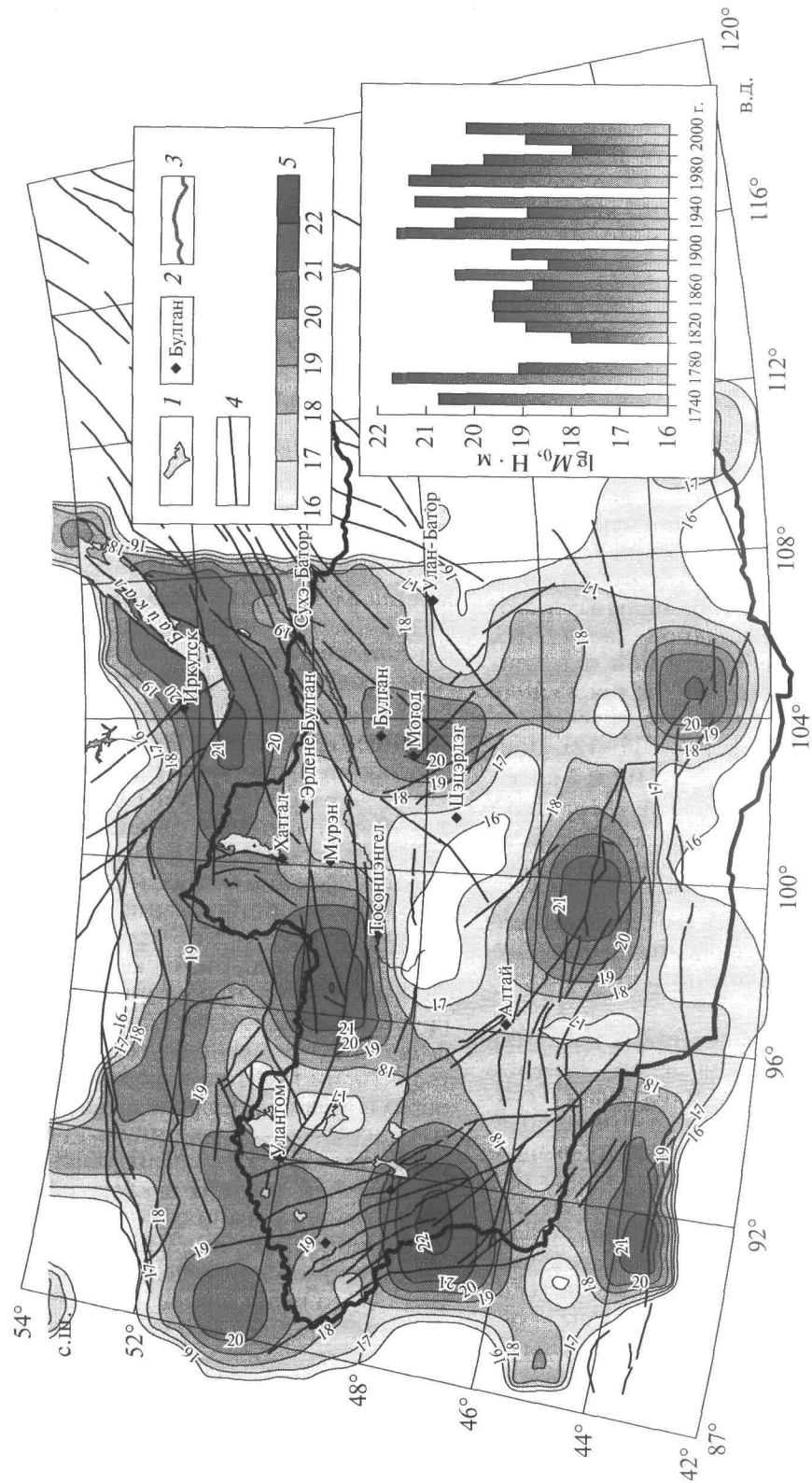


Рис.2. Карта-схема изолиний логарифма энергии сейсмотектонических деформаций и логоGRAMMЫ распределения (врезка) логарифма энергии во времени. 1 – озера, 2 – аймаки, 3 – граница России и Монголии, 4 – основные разломы, 5 – шкала логарифма энергии сейсмотектонических деформаций.

тектонических деформаций ($\lg M_0$), снятых в соответствующих точках сопоставляемых карт. Уравнения прямой и обратной линейной корреляции получены в следующем виде:

$$I_0 = 0.9 \lg M_0 - 7.3, \quad \rho = 0.75, \quad (3)$$

$$\lg M_0 = 0.6 I_0 + 11.8. \quad (4)$$

В настоящее время перед проектировщиками и строителями чрезвычайно остро стоит вопрос об уточнении исходной балльности территории г. Улан-Батор – столицы Монголии. Это связано как с установленной активизацией сейсмичности в районе города [11], так и со строительством высотных зданий и сооружений [12]. Если применить формулу (3) к расчету интенсивности сейсмических сотрясений в районе города, то при $\lg M_0 \approx 17$ (см. рис. 2) полученное значение составит $I_0 \approx 8.0$ балла, что хорошо соответствует значению исходной балльности на карте общего сейсмического районирования [10].

Исследование выполнено при финансовой поддержке РФФИ (09-05-00014_a, 08-05-90201-Монг_a) и НОЦ “Байкал”.

СПИСОК ЛИТЕРАТУРЫ

1. *Baljinnyam I., Bayasgalan A., Borisov B.A., et al.* Ruptures of Major Earthquakes and Active Deformation in Mongolia and its Surroundings // Mem. Geol. Soc. Amer. 1993. V. 181. 59 p.
2. Ключевский А.В., Демьянович В.М. // ДАН. 2009. Т. 428. № 5. С. 663–666.
3. Ключевский А.В., Демьянович В.М., Джурек В.И. // Сейсмостойкое стр-во. Безопасность сооружений. 2007. № 5. С. 33–36.
4. Ризниченко Ю.В. Размеры очага корового землетрясения и сейсмический момент/ Исследования по физике землетрясений. М.: Наука, 1976. С. 9–27.
5. Голицын Г.С. Вычислительная сейсмология. М.: Геос, 2001. В. 32. С. 139–161.
6. Ключевский А.В., Демьянович В.М., Баяраа Г. // Геология и геофизика. 2005. Т. 46. № 7. С. 746–762.
7. Scholz C.H. The Mechanics of Earthquakes and Faulting. Cambridge: Cambridge Univ. Press, 2002. 470 p.
8. Уломов В.И. В кн.: Сейсмические опасности (Природные опасности России). М.: КРУК, 2000. С. 66–96.
9. Уломов В.И., Шумилова Л.С. Комплект карт Общего сейсмического районирования территории Российской Федерации ОСР-97 1:8000000. Объяснительная записка и список городов и населенных пунктов, расположенных в сейсмоопасных районах. М.: НИТ РФ; ОИФЗ РАН, 1999. 57 с.
10. Демьянович М.Г., Ключевский А.В., Демьянович В.М. // Сейсмостойкое стр-во. Безопасность сооружений. 2008. № 2. С. 74–76.
11. Schlupp A., Ulziibat M., Ankhtsetseg D., et al. In: Conf. Commemorating the 50th Anniversary of the 1957 Gobi-Altay Earthquake. Ulaanbaatar, 2007. P. 210–215.
12. Джурек В.И., Серебренников С.П., Ключевский А.В., Батсайхан Ц. // Сейсмостойкое стр-во. Безопасность сооружений. 2009. № 5. С. 46–51.